

時間領域に制限をもちた値伝送符号

早 山 博 富 永 実 義

早稲田大学 理工学部

1. まえがき

情報化社会の発展にともないデジタル情報の伝送量が増大し、伝送路の有効な利用方法について多く論じられている。⁽¹⁾特に既存の伝送路により多くの伝送容量をもたせるには符号形式が問題となる。ある符号形式をシステムに導入するためには考慮しなければならないことがらの内、主なものはい次のようなものがある。⁽²⁾

- (a) ゼット同期情報の抽出が容易であること。
- (b) 直流成分特性の劣化を受けにくいこと。
- (c) フレーム同期情報の抽出が容易なこと。
- (d) 所要伝送帯域幅の小なること。
- (e) 情報源との整合のとれた符号形式であること。等等

これらの条件考慮した代表的なものには擬3進符号がある。擬3進符号には、複流RZ符号、差動2進3値符号、PST符号、Bipolar, Encode, 擬3進平衡符号、3進準平衡符号等

がある。これらは伝達レベルに $+1$, 0 , -1 , の3つのレベルを用い、その異なる符号のようでありながら、実は単一符号素子を伝送する時間 T で1ビットの情報しか伝送しないものである。3進符号であれば時間 NT で表現できる符号の数は 3^N 通りあるが、伝送符号として好ましい条件 (上記 $a \sim e$) をもつ波形だけしか利用しないようにし、使用する符号のフーリエ表現するのに適当な規則をあてはめたものと考えられる。

しかし、同軸PCMなどのように、線路間の漏話や回線自体の雑音が比較的少ない場合には多レベルを選択伝送することが容易となり m 進 n レベル符号が用いられる。 ($m \geq 2$, $n \geq 2$) 一般に情報処理装置におけるレジスタは2進数表現であるため、情報処理装置間を伝送する符号が多進の場合、相互の変換しやすい符号を用いる場合が多い。すなわち、3進や5進の符号の伝送が可能であっても、2進との変換の容易さをとり、これを2進や4進の符号として使用し、冗長性を伝送系で考慮されなければならぬフーリエに割りあてることが多い。これ等の符号はいずれも単位時間 T における波形素子と m 進数との対応関係が定義される。

本論文では m 通りのレベルをとりうる波形素子一個は時間 T を占有するか選択する波形素子との時間距離は $(1 + \frac{1}{m})T$ ($n = 0, 1, 2, \dots; m \geq 1$) となるような符号において表現し

うる情報量と、2進数との対応関係について論ずる。このよ
うな符号は時間領域に及ぼす性質をもちこんだものと考えら
れる。

2. 符号間隔とゼロトランジエント

振幅1, 幅 $T/2$ の矩形波を、総伝達関数 $W(s)$ が、

$$W(s) = \frac{k}{\left(1 + \frac{2\pi f_L}{s}\right)^{m'} \left(1 + \frac{s}{2\pi f_H}\right)^{n'}} \quad \dots\dots\dots (1)$$

なる伝達系に加えたときの応答波形を識別系における等化パ
ルスとすれば図1, および図2, のように一例を示される。 図1
図2

ここで k は定数で等化パルス振幅1になるように選ぶ, また
 f_L, f_H はそれぞれ低域および高域の遮断周波数, m', n' は
それぞれの次数であり、等化パルスの占有率を定める。

さて、等化パルスが先頭値をとる時刻 t_m を識別時刻とし、
時刻 t に対する振幅を $r(t)$ とすれば、図1に示すごとく
時刻 t_m より $(1 + n'/\nu)T$ 経過した時刻におけるタイムス
ロットの振幅は $r\{t_m + (1 + n'/\nu)T\}$ (注: 図1では $\nu=2$)と
表現できる。

符号列 $\{X_k\}$ ($-\infty < k < \infty$)において、符号 X_0 から
 k 位手前のパルスと $k-1$ 位手前のパルスとの時間間隔を

$$(1 + n_k/\nu)T \quad (\nu \geq 1, m_k = 0, 1, 2, \dots, k = 1, 2, \dots)$$

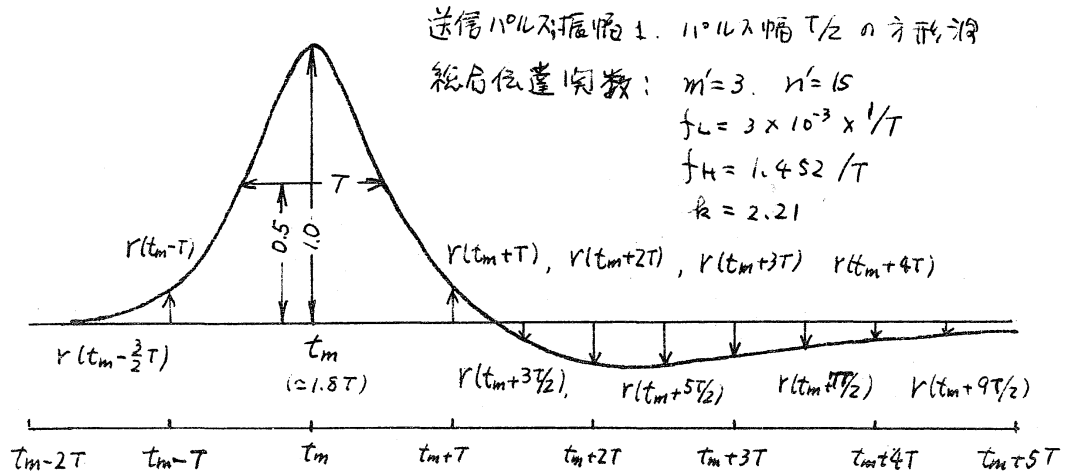


図 1. 等化パルスの例 (文献 3.54)

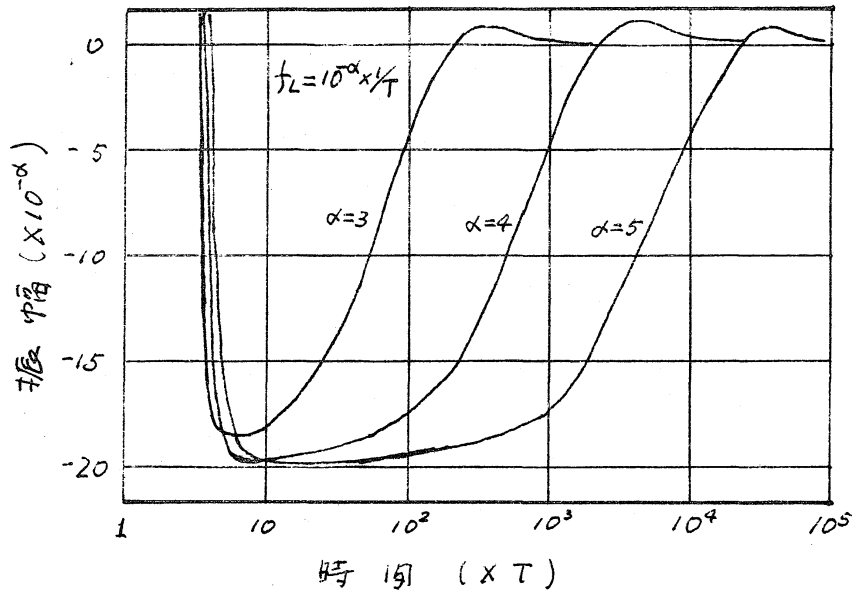


図 2. 等化パルスの残留状態 (文献 3.54)

とする。すなわち符号の時間間隔の列を書くと

$$\dots, (1 + n_{k+1}/\nu)T, (1 + n_k/\nu)T, \dots, (1 + n_1/\nu)T, (1 + n_0/\nu)T, (1 + n_{-1}/\nu)T, \dots$$

となる。 X_0 から*k*個手前のパルスによって X_0 の次に現われる符号間干渉を $X_{-k}C_k$ とおけば

$$X_{-k}C_k = X_{-k} \nu \left\{ t_m + \sum_{k'=1}^k (1 + n_{k'}/\nu)T \right\}$$

となる。

また、 X_0 から*k*個後の等化パルスの立ち上り部分で X_0 の次に現われる符号間干渉を $X_k C_{-k}$ とおけば

$$X_k C_{-k} = X_k \nu \left\{ t_m - \sum_{k'=1}^k (1 + n_{k'}/\nu)T \right\}$$

となる。

図1. および図2の例では $t_m = 1.8T$ であるから X_0 の直後の符号 X_1 が時間 T 以後にある場合を考慮すればよい。

$m \leq 3$, $f_L = 10^3/T$ が成立する場合には図1および図2

から $|C_{-1}|, |C_1| \gg |C_2| > |C_3| \dots > |C_k| >$

が成立し、また図2から残留信号がほとんどもろに収束するのには少くとも 10^{-2} の T 以上の時間を要する。

このことは符号間隔が T の整数倍の等長符号において問題となる符号間干渉と、本論文が述べる符号間隔が $(1 + m/\nu)T$ である符号における符号間干渉とは同様の条件で検討できる。すなわち同一の伝送帯域において等長符号に対し多くの情報

量を伝き得ることを示す。

3. 2レベル符号における時間領域の多値化

2レベル符号の代表的なものに NRZ と NRZI の符号がある。

その波形をそれぞれとして論理演算して誘導した波形や信号の微分操作して誘導した波形は他の伝送符号系に対応させることができる。⁽²⁾ 今図3に示すように同一の波形を NRZ の定義に従って解読した情報列を $\{A_n\}$ とし、NRZI の定義に従って解読した情報列を $\{A_n'\}$ とすれば

$$A_n' = A_n \cdot \overline{A_{n-1}} + \overline{A_n} \cdot A_{n-1}$$

$$\text{または } A_n = \overline{A_n'} \cdot A_{n-1} + \overline{A_n} \cdot A_{n-1}'$$

なる関係がある。このような関係がある時、情報列 $\{A_n'\}$ は情報列 $\{A_n\}$ の微分情報と言う。また情報列 $\{A_n'\}$ が与えられた時情報列 $\{A_n\}$ を求める操作を積分操作とよむ。

$$A_n = \sum_{i=0}^n A_i' + C_0 \quad (\text{mod } 2)$$

で求まる。 C_0 は初期値である。

すなわち符号において波形と情報との対応関係を論ずる時 NRZ タイプと NRZI タイプがあるが、それ等を個別に考える必要はない。そこで図4に示すように信号のレベル変化(または 11011)の存在する時刻から下の区間を文字 P をおき、他の区間を $T/2$ 間隔に文字 Q を割りあてるような符号を考えよ

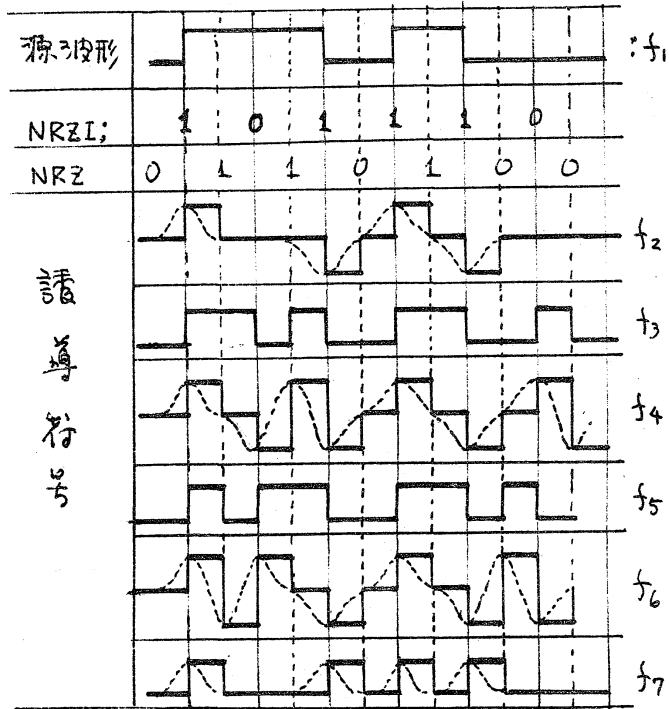


図3. 2レベル符号とその誘導符号

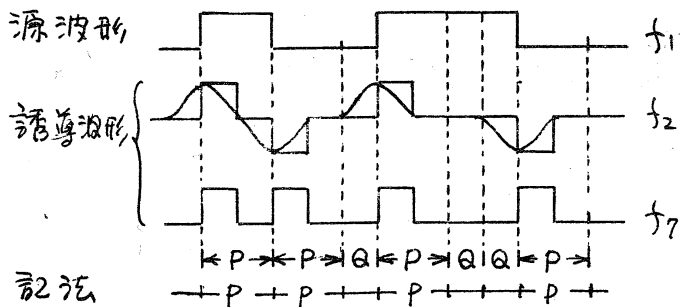


図4. レベル反転(110ルス)間隔を $(1+1/2)T$

にしよう時のシンボル P、Q との対応例 (V=2の時)

う。符号の波形を略記するときは図4に示す記法にしたおりに文字-PIEITを記入することにする。

3.1 波形と重み関数

17ビットの伝送符号に対し時刻 T/ν ($\nu > 1$) 間隔にタイムスロットがあり末尾から順にタイムスロットの時刻に番号 $0, 1, 2, \dots, k, \dots, \nu N$, をつける。番号 k の位置にパルス (またはレベル反転) があれば自然数 U_k を対応させる。この時17ビットで表現できる情報 B は

$$B = \sum_{k=0}^{\nu N} \pi_k U_k$$

と表わせる。ここで π_k は k 番目の位置にパルス (またはレベル反転) があれば 1, なければ 0 である。このように U_k を符号における重み関数と言う。そこで重み関数 U_k は次のように定める。すなわち、タイムスロット番号 k と、0 に対応する時刻表で表現できるすべての符号を数えた時、その数を U_k にとす。つまり当該区間で表わせる符号にそれぞれ $0, 1, 2, \dots$ と番号をつけるとその番号の最大値は $U_k - 1$ となる。

$\nu = 1$ の時, この手法で U_k を求めれば $U_k = 2^k$ となる。

3.2 重み関数のフロ-グラフと符号の定義

$\nu = 2$ の時 $\{U_k\}$ はフィボナッチ数列となり, 情報の順に配列した符号の例を示すと図5となる。フィボナッチ数列の性質はこの符号の性質と密接な関係がある。(詳細は文献1)

同様に ($\nu = 3, 4, 5, \dots$) のそれぞれについて新しい符号が考えられる。重み関数 U_k は一般に次の関係がある。

$$\begin{cases} U_k = U_{k-1} + U_{k-\nu} & : k \geq \nu \\ U_k = 1 & : 0 \leq k < \nu \end{cases}$$

U_k の一般項は代数方程式

$$x^\nu = x + 1$$

の根 (複素数を含む) を t_1, t_2, \dots, t_ν とすれば、

$$U_k = \sum_{l=1}^{\nu} S_l x_l^k$$

となる。ここで S_1, S_2, \dots, S_ν は初期値 $U_k = 1$ ($0 \leq k \leq \nu$)

および $U_k = 2$ を満足するように定められた定数である。

$\nu = 2$ の時は

$$U_k = (\alpha^k - \beta^k) / \sqrt{5}$$

となる。ここで α, β は

$$\alpha = \frac{1+\sqrt{5}}{2}, \quad \beta = \frac{1-\sqrt{5}}{2} \quad (x^2 = x + 1 \text{ の根})$$

である。

このことより図6に示すように U_k を節とするフローグラフを図6に描くことができる。

次に、 ν が整数でない時にも同じように符号が誘導できる。

すなわち

$$\nu = \nu_1 / \nu_2 \quad (\geq 1, \text{ 既約分数})$$

とおけば、

$$\begin{cases} U_k = U_{k-\nu_2} + U_{k-\nu_1} & : k \geq \nu_1 \\ U_k = 1 & : 0 \leq k < \nu_1 \end{cases}$$

| 情報 | 重み関数 | 情報 |
|----|-----------------------|----|
| 0 | | 0 |
| 1 | u_1 | 1 |
| 2 | u_3 | 2 |
| 3 | u_5 | 3 |
| 4 | u_3+u_1 | 4 |
| 5 | u_4 | 5 |
| 6 | u_2+u_1 | 6 |
| 7 | u_4+u_2 | 7 |
| 8 | u_5 | 8 |
| 9 | u_5+u_1 | 9 |
| 10 | u_5+u_2 | 10 |
| 11 | u_5+u_3 | 11 |
| 12 | $u_5+u_3+u_1$ | 12 |
| 13 | u_6 | 13 |
| 14 | u_6 | 14 |
| 15 | u_6 | 15 |
| 16 | u_6 | 16 |
| 17 | u_6 | 17 |
| 18 | u_6 | 18 |
| 19 | u_6 | 19 |
| 20 | $u_6+u_2+u_1$ | 20 |
| 21 | u_7 | 21 |
| 22 | u_7 | 22 |
| 23 | u_7 | 23 |
| 24 | u_7 | 24 |
| 25 | u_7 | 25 |
| 26 | u_7 | 26 |
| 27 | u_7 | 27 |
| 28 | u_7 | 28 |
| 29 | u_7 | 29 |
| 30 | u_7 | 30 |
| 31 | u_7 | 31 |
| 32 | u_7 | 32 |
| 33 | $u_7+u_5+u_3+u_1$ | 33 |
| 34 | u_8 | 34 |
| 35 | u_8 | 35 |
| 36 | u_8 | 36 |
| 37 | u_8 | 37 |
| 38 | u_8 | 38 |
| 39 | u_8 | 39 |
| 40 | u_8 | 40 |
| 41 | u_8 | 41 |
| 42 | u_8 | 42 |
| 43 | u_8 | 43 |
| 44 | u_8 | 44 |
| 45 | u_8 | 45 |
| 46 | u_8 | 46 |
| 47 | u_8 | 47 |
| 48 | u_8 | 48 |
| 49 | u_8 | 49 |
| 50 | u_8 | 50 |
| 51 | u_8 | 51 |
| 52 | u_8 | 52 |
| 53 | u_8 | 53 |
| 54 | $u_8+u_6+u_4+u_2$ | 54 |
| 55 | u_9 | 55 |
| 56 | u_9 | 56 |
| 57 | u_9 | 57 |
| 58 | u_9 | 58 |
| 59 | u_9 | 59 |
| 60 | u_9 | 60 |
| 61 | u_9 | 61 |
| 62 | u_9 | 62 |
| 63 | u_9 | 63 |
| 64 | u_9 | 64 |
| 65 | u_9 | 65 |
| 66 | u_9 | 66 |
| 67 | u_9 | 67 |
| 68 | u_9 | 68 |
| 69 | u_9 | 69 |
| 70 | u_9 | 70 |
| 71 | u_9 | 71 |
| 72 | u_9 | 72 |
| 73 | u_9 | 73 |
| 74 | u_9 | 74 |
| 75 | u_9 | 75 |
| 76 | u_9 | 76 |
| 77 | u_9 | 77 |
| 78 | u_9 | 78 |
| 79 | u_9 | 79 |
| 80 | u_9 | 80 |
| 81 | u_9 | 81 |
| 82 | u_9 | 82 |
| 83 | u_9 | 83 |
| 84 | u_9 | 84 |
| 85 | u_9 | 85 |
| 86 | u_9 | 86 |
| 87 | u_9 | 87 |
| 88 | $u_9+u_7+u_5+u_3+u_1$ | 88 |

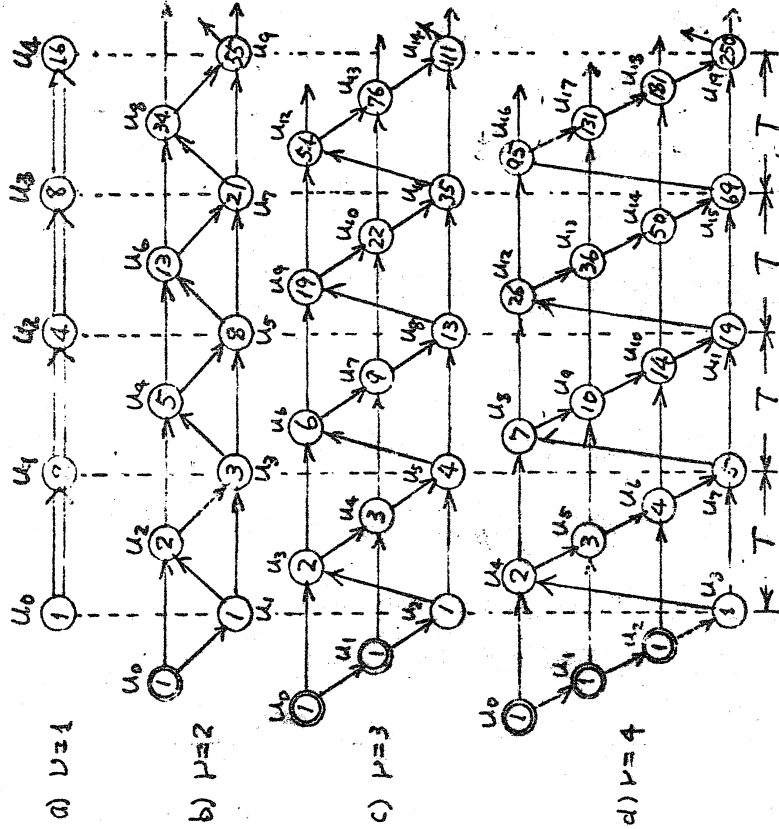


図 6 $u_{n+1} = u_{n-1} + u_{n-2}$ による関係をもつ重み関数 u_i .
 1) P O. T T T.

図 5 フィボナッチ符号の配列順序と情報量の対応.

| 121109876543210-123 +++++1 | 重み関数 | 重み値 | 情報(10進) |
|-------------------------------|----------------------|--------------|---------|
| +++++P- | U_0 | 0 | 0 |
| +++++P+ | U_2 | 1 | 1 |
| +++++P- | U_4 | 2 | 2 |
| +++++P+ | U_6 | 3 | 3 |
| +++++P+P+P- | $U_6+U_3+U_0$ | $3+1+0$ | 4 |
| +++++P+ | U_8 | 5 | 5 |
| +++++P+P+P+ | $U_8+U_3+U_0$ | $5+1+0$ | 6 |
| +++++P+P+P- | $U_8+U_5+U_0$ | $5+2+0$ | 7 |
| +++++P+P+P+ | $U_8+U_5+U_2$ | $5+2+1$ | 8 |
| +++++P+ | U_{10} | 9 | 9 |
| +++++P+P+P+ | $U_{10}+U_3+U_0$ | $9+1+0$ | 10 |
| +++++P+P+P- | $U_{10}+U_5+U_0$ | $9+2+0$ | 11 |
| +++++P+P+P+ | $U_{10}+U_5+U_2$ | $9+2+1$ | 12 |
| +++++P+P+P+ | $U_{10}+U_7+U_0$ | $9+4+0$ | 13 |
| +++++P+P+P+ | $U_{10}+U_7+U_2$ | $9+4+1$ | 14 |
| +++++P+P+P+ | $U_{10}+U_7+U_4$ | $9+4+2$ | 15 |
| +++++P+ | U_{12} | 16 | (0) 16 |
| +++++P+P+P- | $U_{12}+U_3+U_0$ | $16+1+0$ | (1) 17 |
| +++++P+P+P- | $U_{12}+U_5+U_0$ | $16+2+0$ | (2) 18 |
| +++++P+P+P+ | $U_{12}+U_5+U_2$ | $16+2+1$ | (3) 19 |
| +++++P+P+P- | $U_{12}+U_7+U_0$ | $16+4+0$ | (4) 20 |
| +++++P+P+P+ | $U_{12}+U_7+U_2$ | $16+4+1$ | (5) 21 |
| +++++P+P+P+ | $U_{12}+U_7+U_4$ | $16+4+2$ | (6) 22 |
| +++++P+P+P+ | $U_{12}+U_9+U_0$ | $16+7+0$ | (7) 23 |
| +++++P+P+P+ | $U_{12}+U_9+U_2$ | $16+7+1$ | (8) 24 |
| +++++P+P+P+ | $U_{12}+U_9+U_4$ | $16+7+2$ | (9) 25 |
| +++++P+P+P+ | $U_{12}+U_9+U_6$ | $16+7+3$ | (10) 26 |
| +++++P+P+P+P+P- | $U_{12}+U_9+U_6+U_3$ | $16+7+3+1+0$ | 27 |

図7 $\nu=3/2$ の符号の127-12の配列順序と情報との対応

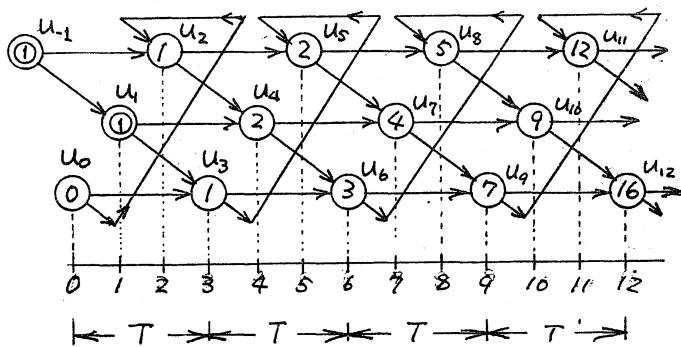


図8 $\nu=3/2$ のときの重み関数 U_n の70-737

$$U_n = U_{n-2} + U_{n-3}$$

となる。ここで注意を要するのはタイムスロットの時間間隔を T/V_1 間隔にとることである。 $V=3/2$ の時の符号の例を
 図7にまた重み関数 u_k のフローグラフを図8に示す。

図7
 図8

3.3 多種類の時間間隔の組合せによって得られる符号

DM × TM によって得られる符号は、パルス(レベル反転)の間隔が $T, 3T/2, 2T$ の3種類によって表現される二進符号である。今、このパルス(レベル反転)間隔に対し各々 P_2, P_3, P_4 の文字を対応させて考える。区間 NT を DM × TM の定義にこだわらずに、 P_2, P_3 および P_4 によってすきまなく配列することによって誘導される符号を考える。当然 DM × TM の定義にあてはまらない符号の波形を含むから情報量は多くなる。さて得られるすべての符号並びの法則で順番をつけ、その順位につけた番号を情報に対応させる。

(1) P_2 は P_3 に、 P_3 は P_4 にそれぞれ優先して、上位の位 E から順におく。

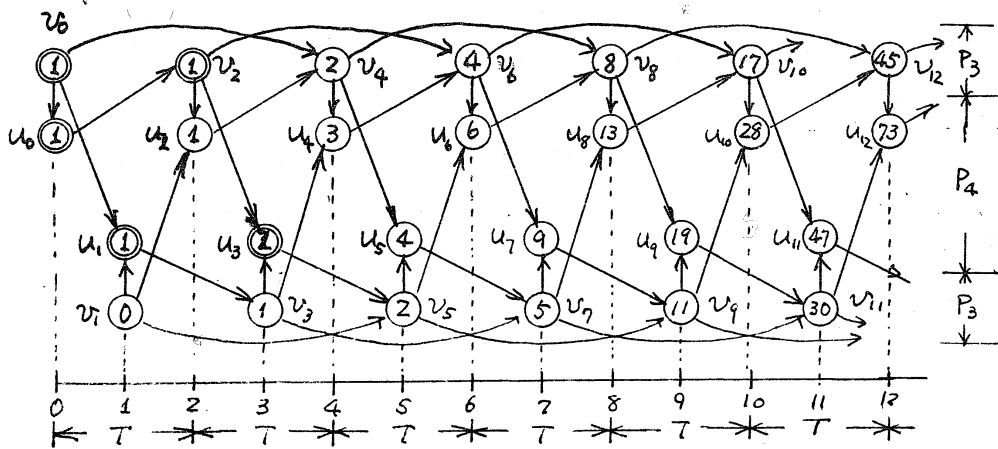
(2) P_2 だけで表わせる符号を最初の符号とし情報の D に対応させる。

(3) 文字の配列のおきかえは下位から順におこなわれ、ある位に新しい文字をおく場合は、それより下位の区間が得られるすべての配列方法が見る(下後である)。

この法則に従って区間 $6T$ の場合の符号の例を図9に示す 図9

| 10 9 8 7 6 5 4 3 2 1 0 -1 -2 | 重み関数 | 重み値 | 情報 |
|-------------------------------------|----------------------|------------|----|
| $P_2 + P_2 + P_2 + P_2 + P_2 + P_2$ | | | 0 |
| $P_2 + P_2 + P_2 + P_2 + P_4$ | u_2 | 1 | 1 |
| $P_3 + P_3$ | $v_4 + v_1$ | 2 + 0 | 2 |
| P_4 | u_4 | 3 | 3 |
| $P_3 + P_3$ | $v_6 + v_1$ | 4 + 0 | 4 |
| $P_3 + P_3$ | $v_6 + v_3$ | 4 + 1 | 5 |
| P_4 | u_6 | 6 | 6 |
| $P_4 + P_4$ | $u_6 + u_2$ | 6 + 1 | 7 |
| $P_3 + P_3$ | $v_8 + v_1$ | 8 + 0 | 8 |
| $P_3 + P_3$ | $v_8 + v_3$ | 8 + 1 | 9 |
| $P_3 + P_3$ | $v_8 + v_5$ | 8 + 2 | 10 |
| $P_3 + P_3 + P_4$ | $v_8 + v_5 + u_2$ | 8 + 2 + 1 | 11 |
| $P_3 + P_4 + P_3$ | $v_8 + u_5 + v_1$ | 8 + 4 + 0 | 12 |
| P_4 | u_8 | 13 | 13 |
| $P_4 + P_4$ | $u_8 + u_2$ | 13 + 1 | 14 |
| $P_4 + P_3 + P_3$ | $u_8 + u_4 + v_1$ | 13 + 2 + 0 | 15 |
| $P_4 + P_4$ | $u_8 + u_4$ | 13 + 3 | 16 |
| $P_3 + P_3$ | $v_{10} + v_1$ | 17 + 0 | 17 |
| S | S | S | |
| $P_3 + P_4 + P_3$ | $v_{10} + u_5 + v_1$ | 17 + 4 + 0 | 21 |
| $P_3 + P_3$ | $v_{10} + v_7$ | 17 + 5 | 22 |
| S | S | S | |
| $P_3 + P_4 + P_3$ | $v_{10} + u_7 + v_3$ | 17 + 9 + 1 | 27 |
| P_4 | u_{10} | 28 | 28 |
| S | | | |
| $P_4 + P_4 + P_4$ | $u_{10} + u_6 + u_2$ | 28 + 6 + 1 | 35 |

14) $4P_2 = T, P_3 = 3T/2, P_4 = 2T$ の組合せでできる符号の配列順と情報と9打入-



15) $10P_2 = T, P_3 = 3T/2, P_4 = 2T$ の組合せでできる符号の重み関数の70-737.

す。次にタイムスロット番号 k に文字 P_3 があるときの重み係数を v_k , 文字 P_4 をあけた時の重み係数を u_k とすれば次の関係がある。(詳細は文献)

$$\begin{cases} u_k = v_k + v_{k-1} \\ v_k = u_{k-2} + v_{k-4} \end{cases}$$

初期値を決定してこの関係をフローグラフに書くと図 10 図 10 となる。

4. 3レベル符号における時間領域の多値化.

多レベル符号においても NRZ , NRZ , および $NRZI$ の右型にあてはまる波形が考えられる。図 11 に 3レベルにおける符号 図 11 の波形例を示す。ここで $NRZI$ 型は文字 Q に対してはレベル変化がないが文字 P_1, P_2 に対してはレベルがそれぞれ異なる位置まで変化する。したがって文字に紐づく各レベルにある時はレベル 0 に変化させる。 NRZ 型は図から時かに理解されるであろう。さて同一の波形を NRZ の定義に従って解釈した時の情報列を $\{A_n\}$, $NRZI$ の定義に従って解釈した時の情報列を $\{A'_n\}$ とすれば

$$A'_n = \delta(A_n, A_{n-1}) \quad (\text{表 1 の定義による})$$

$$\text{または} \quad A_n = \sum_{i=0}^n A'_i + C_0 \quad (\text{表 2 の定義による加法})$$

となる。 C_0 は初期値である。図 11 において $P_1 = L$,

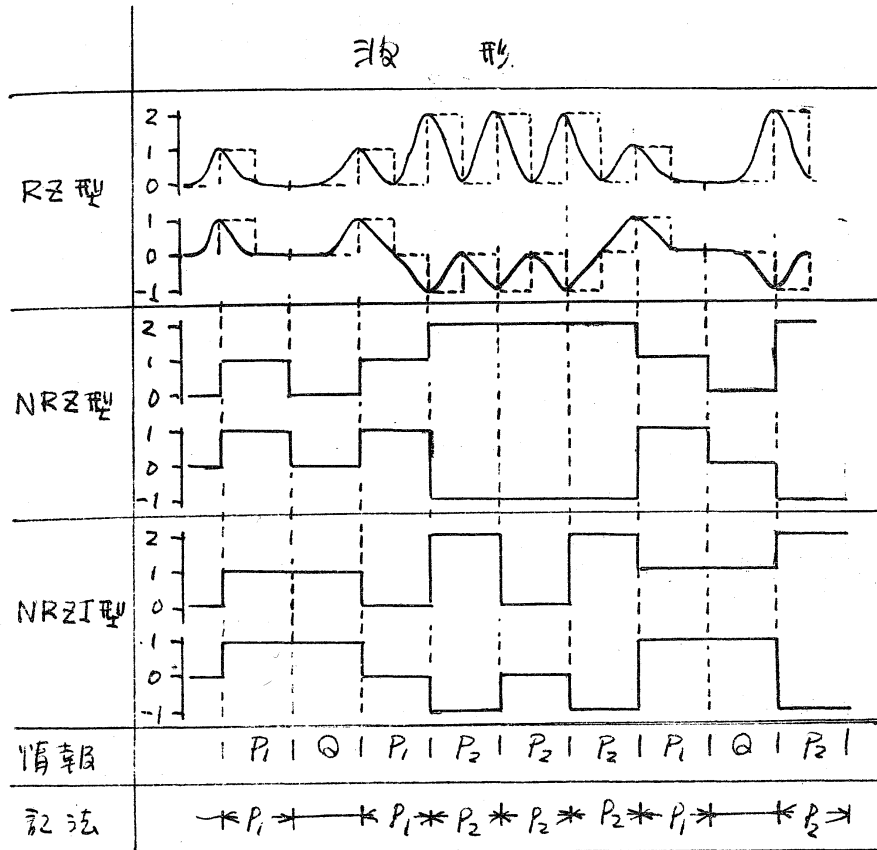


図11 多レベル符号におけるNRZ型とNRZI型の波形例
($P_1=1, P_2=2, Q=0$)

表1. $\delta(A_n, A_{n-1})$ の定義

| A_{n-1} | A_n | $\delta(A_n, A_{n-1})$ |
|-----------|-------|------------------------|
| 0 | 0 | 0 |
| 0 | 1 | 1 |
| 0 | 2 | 2 |
| 1 | 0 | 1 |
| 1 | 1 | 0 |
| 1 | 2 | 2 |
| 2 | 0 | 2 |
| 2 | 1 | 1 |
| 2 | 2 | 0 |

表2. () における加法の定義

| $x+y$ | $= z$ |
|-------|-------|
| 0+0 | = 0 |
| 0+1 | = 1 |
| 0+2 | = 2 |
| 1+0 | = 1 |
| 1+1 | = 0 |
| 1+2 | = 2 |
| 2+0 | = 2 |
| 2+1 | = 1 |
| 2+2 | = 0 |

$P_2 = 2, Q = 0$ の情報に知える。

4.1. 波形と重み関数.

番号 k のタイムスロットの位に文字 P_1 がある時、これに重み関数 a_k , 文字 P_2 がある時は重み関数 b_k をそれぞれ対応づける。さてこの重み関数は次の法則に従ってすべての符号に順序づけた時に一意に決まることかできる。

(1) 文字 Q だけしかない符号を最初の符号とし情報 0 に入知える。

(2) 文字の配列のおきかえは下位から順におこなわれ、文字 P_1 が P_2 より先におく。

(3) あるけたに新しい文字をおく場合は、それより下位の区間を得られるすべての配列の手法が完了する後である。

これより、 a_k は $0 \sim k-1$ の区間を得ることのできる符号の総数に一致する。また k の位置に文字 P_2 がある (その上位は文字 Q のみ) ような符号の総数は $a_{k-\nu+1}$ に一致する。従って $0 \sim k$ の区間を得ることのできる符号の総数は k の位置に文字 P_1 がある P_2 のある符号の数と $0 \sim k-1$ の区間を得ることのできる符号の総数を加えたものである。すなわち

$$a_{k+1} = a_k + 2 a_{k-\nu+1}$$

を得る。同様の考察により

$$b_k = a_k + a_{k-\nu+1} \text{ となる。}$$

これを整理すると

$$\begin{cases} a_k = b_{k-1} + a_{k-2} \\ b_k = a_k + a_{k+1-\nu} \end{cases}$$

となる。

4.2 重み関数のフロークラフと符号の定義

$\nu = 1$ の時はいわゆる3値等長符号であり () のは

$$\begin{cases} b_k = 2a_k, \\ a_k = b_{k-1} + a_{k-1} = 3a_{k-1} \end{cases}$$

となる。当然、 a_k, b_k の一般項は

$$a_k = 3^k, \quad b_k = 2 \cdot 3^k \quad \text{となる。}$$

$\nu = 2$ 時、フィボナッチ符号の3レベル符号化と考えらる。

$$\begin{cases} b_k = a_k + a_{k-1} \\ a_k = b_{k-1} + a_{k-2} = a_{k-1} + 2a_{k-2} \end{cases}$$

となる。この一般項を求めると

$$\begin{cases} a_k = \frac{1}{3} \{ 2^{k+1} + (-1)^k \} \\ b_k = 2^k \end{cases}$$

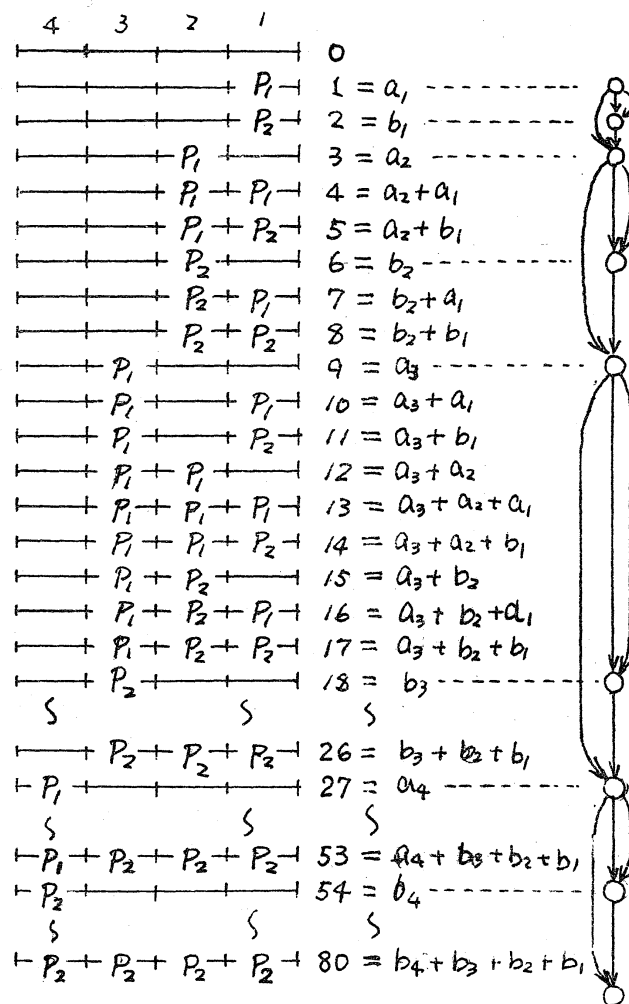
となる。

一般に a_k, b_k の一般項を求めるには方程式

$$x^\nu = x + 2$$

の ν 個の根を d_1, d_2, \dots, d_ν とし

$$a_k = \sum_{i=1}^{\nu} c_i d_i^k$$



例 12. 3Lハル符号表 (v=1, m=3)

の符号と情報との対応

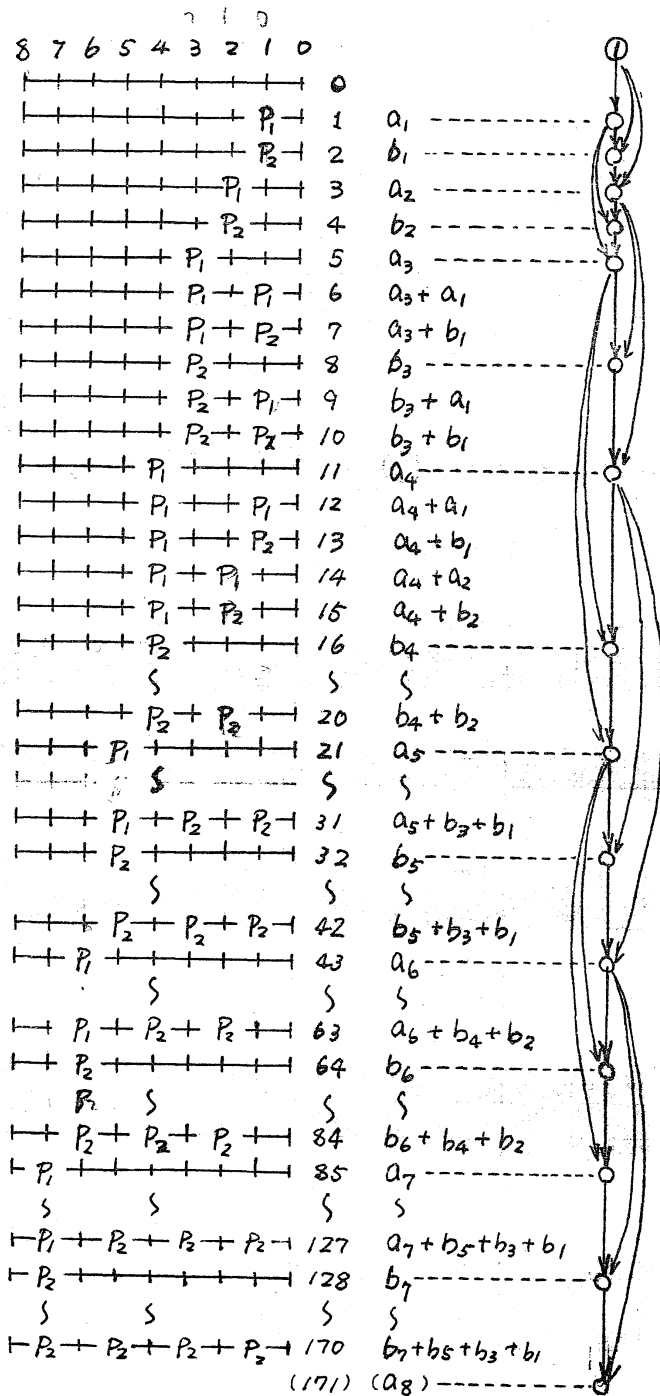


図 13. $\nu=2, m=3$ の時の符号と情報との対応

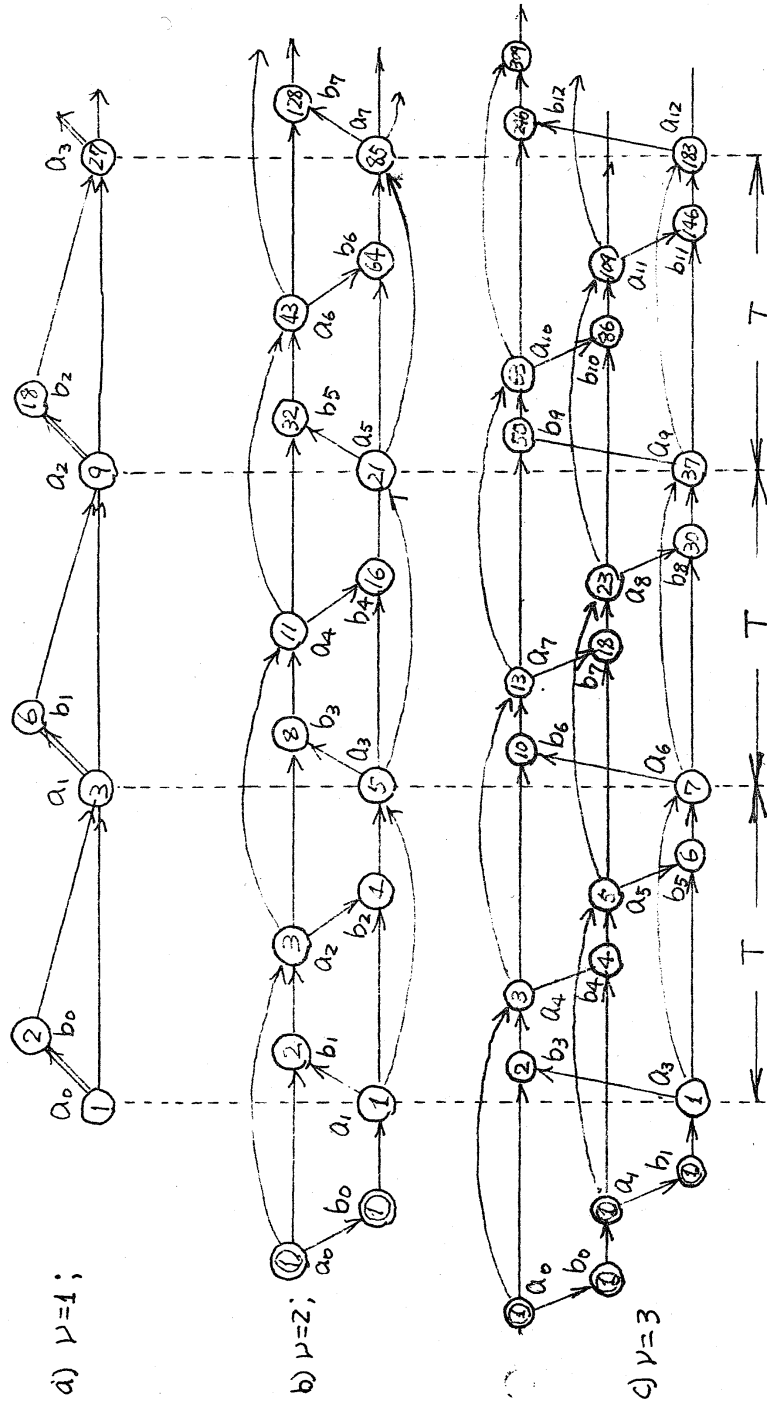


図 14. 3レベル符号における状態領域の基底化符号の70-9"37 (V=2の場合)

と与えられる。ここで C_1, C_2, \dots, C_ν は初期値

$$A_k = 1 \quad (\nu > k \geq 0)$$

を満たすようにした定数である。

図12に $\nu=1$ の時の符号と情報との対応を示す。また 図13
 図13に $\nu=2$ の時の符号と情報との対応を示す。図14は 図14
 $\nu=1, \nu=2, \nu=3$ の時の重み関数のフローグラフである。

4.3 フローグラフにおける桁上げの意味

図12と図14とを比較した時に次のことが引きだせる。

- (1) 節における入力枝の数は2である。
- (2) 節における出力枝の数は ~~2~~ 節のレベル数である。

そこで次のように枝の性質を定義付ける。

(定義1) 節 X_i から出る枝の内最も短い枝で結ばれる節 X_{i+k} に対する枝を、フローグラフにおける「桁上げの枝」と言う。

(定義2) 節 X_i の次にある節 X_{i+1} (も直接に結ばれていない) ^{にうつることを}
 を符号における桁上げと言う。ここで節はすべての符号を情報
 量の順に配列 (右時にタイムスロットの位置に配列して発生
 する重み関数に対応して順番をつけたもの) である。

(定義3) 節 X_i に入る枝の内「桁上げの枝」でないものの枝
 を「桁上げ量の枝」と言う。

当然、桁上げ量の枝の始点 X_{i-1} は桁上げの枝の始点

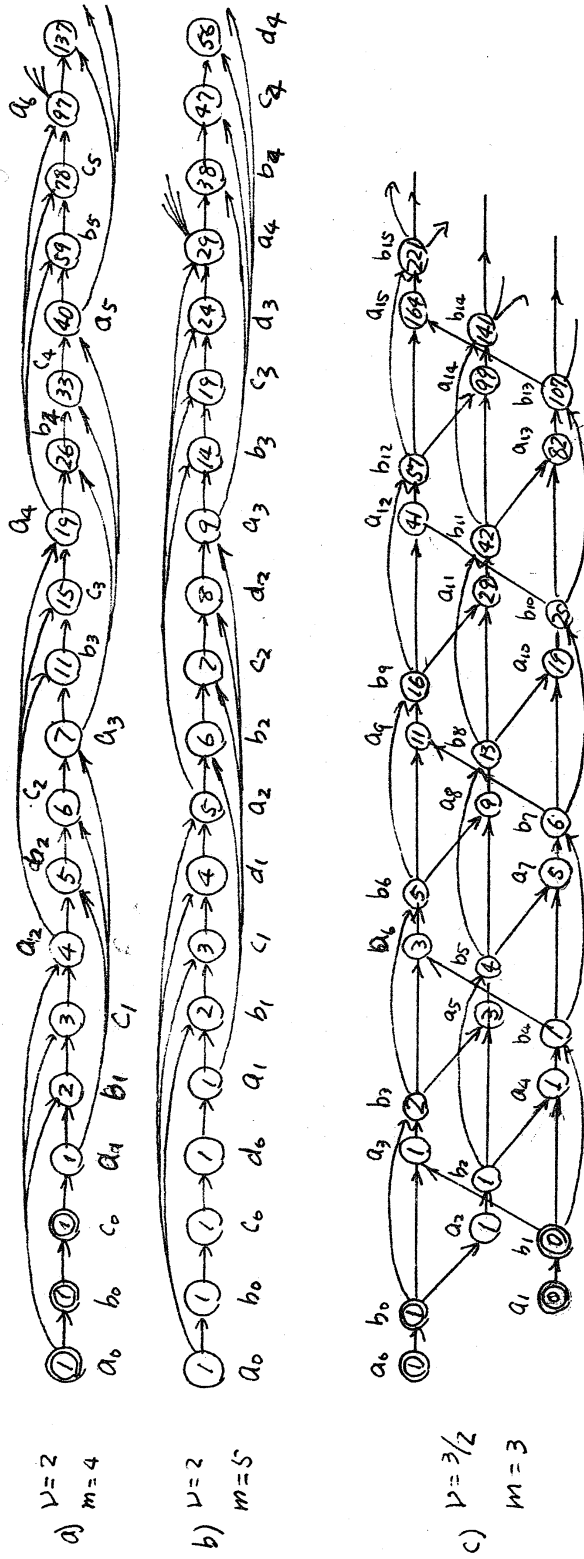


図16 種々の多値レール符号における暗向鎖列の存在化。

x_{i-k} より前にある。(前にあるとは節の順序位置が若輩にあることとする), すなわち $i-l \leq i-k$,

第 i 番の符号において i は桁上げの枝と桁上げ量の枝とが異なる始末をもつ。

5. 時間領域を有値化した多レベル符号の誘導.

符号を定義することは重み関数のフローグラフを決めることと等価である。2レベル符号から3レベル符号に変化した時フローグラフは次のように変形したと考えられる。

(1) 節が2つに分離し、分離した節は一本の桁上げの枝で結ぶ。

(2) 入力の枝は分離した節の内、前の節に保存され、出力の枝は分離した節の内、後の節に保存される。

(3) 出力の枝をレベルの数の増加分だけ増加する。

(4) 分離した節の内、後の節の入力に、桁上げ量の枝を追加する。

以上の様子を (a), (b) 図 15 に示す。このことより多レベル符号に 図 15

おけるフローグラフの誘導法則は 図 15-(c) に示すように一般化でき

る。なお (c) 図-ファイル スロットに位置する節をレベルの順位に節を挿入させ、 $a_i, b_i, c_i, \dots, k_i$ とおくと、この時、分離した節の最後の節は次のファイル スロット位置におかれる。

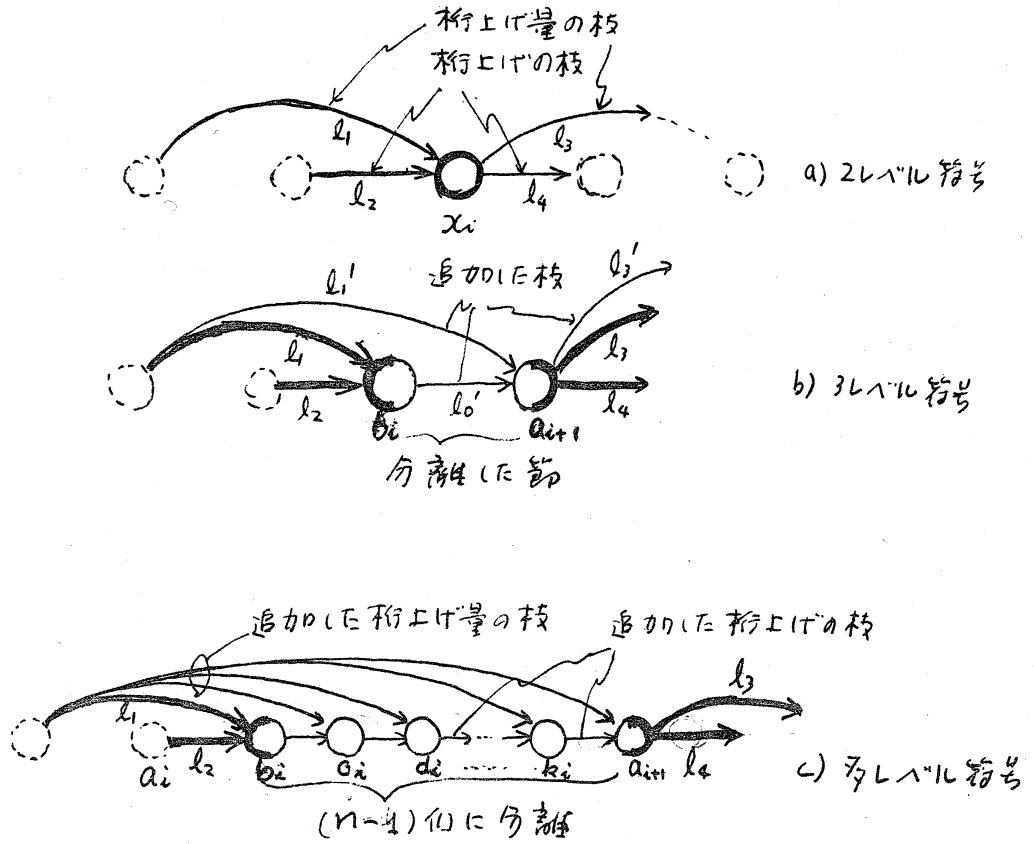
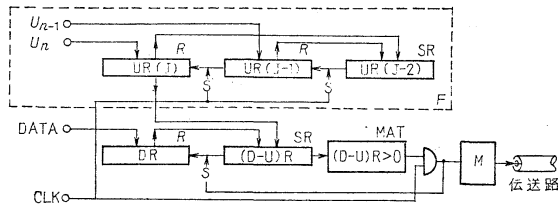
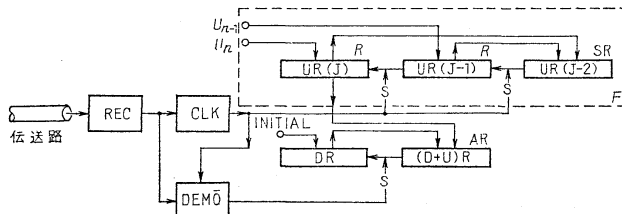


図15. 7レベル化におけるフローグラフの変形操作.



S: シフト指示, M: 変調器, R: レジスタ, SR: 減算器, MAT: 判定器
 u_n, u_{n-1} : フィボナッチ数のデータ, DATA: 送出情報
 図17 フィボナッチ符号発生回路 (二進数をフィボナッチ符号に変換する回路)



REC: 受信器, CLK: クロック発生器, DEMO: P 検出器, R: レジスタ,
 SR: 減算器, AR: 加算器, S: シフト指示, INITIAL: 初期設定, u_n, u_{n-1} :
 フィボナッチ数のデータ
 図18 フィボナッチ符号から二進情報に変換する回路 (復調回路)

これより $V=2$ の時の 4レベル符号、および 5レベル符号、また $V=3/2$ の 3レベル符号のフローグラフを求めると図16となる。

6. 変・復調回路

情報処理装置を構成する回路は2値論理回路が一般的である。したがって、二進数で表現される情報を伝送符号に変換し、また逆に伝送符号から二進情報を得る操作が必要である。ここでは前者を変調、後者を復調といる。ここで重み関数のフローグラフが重要な役割をする。例えば、 $V=2$ の場合フィボナッチ符号を例にとるか、一般の多値符号について同じ考えによる方法がとれる。

図17 にフィボナッチ符号の変調回路の一例を示す。

UR(j), UR(j-1) はフィボナッチ数を示す情報をおくレジスタで、初期値は u_n, u_{n-1} で示す情報が与えられる。UR(j-2) は UR(j) と UR(j-1) の内容の差の情報をおく減算器で、これらの値は CLK 端子より与えられる同期パルスによって、その左のレジスタに移される。その機能をシフト指示 S で示す。またレジスタ DR は与える DATA から与えられる伝送すべき情報をおき、DR と DR(j) との差の値を (D-U)R におく。MAT は (D-U)R の内容が非零であることを判定する回路で

その出力と刻時パルスとの一致において M に入力を与えると同時に $(D-U)R$ の内容を DR に移す。 $(R-U)R$ の内容が戻るときは DR の内容は保存される。すなわち、磁録でかこむ回路の機能はフィボナッチ数をフロ-グ"ラフの流れと並向きに発生する。

図 18 はフィボナッチ符号の復調回路であり動作は図の機能の逆を行なっている。

おまひ

伝送符号における波形素子と重み関数の対応を、重み関数のフロ-グ"ラフを亦あることにより符号の定義が出来ることを示した。波形素子が存在する時は時間 T の固有時帯をき、それ以外は T/U ごとに符号時刻をきかむことにより、時間領域における多値化符号を考えた。

文献

- (1) "時間領域に制限をたつ符号とその再帰指数による表現"
: 宮永, 信学論 A. 54-A. 4. p201, '71/4
- (2) "磁気記録における変調方式と伝送符号との関係":
宮永, 信学論 A. 53-A. 8. p434 (4B 45-08)
- (3) "通常多進符号の基底帯域伝送": 岩橋, 江井, 藤崎
小宮, 信学論 A. 52-A. 4. p173 ('69/4)